

Direct Method

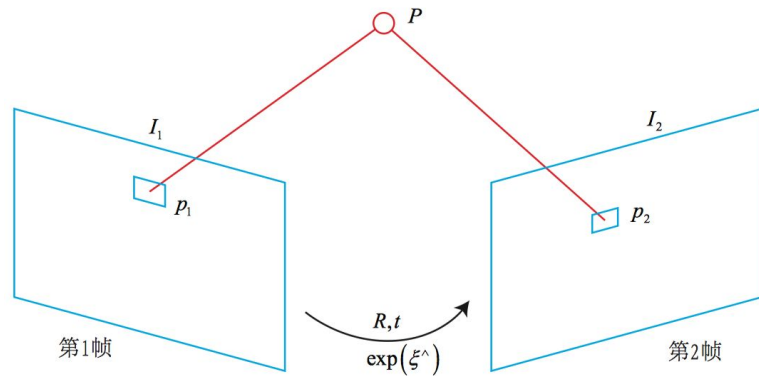
2019/03/10
Jungju Oh

Direct Method 원리

- 공간 지점 p 의 월드 좌표는 $[X, Y, Z]$, non-homogeneous 픽셀 좌표는 p_1, p_2
- 첫 번째 카메라에 대해 두 번째 카메라의 상대적인 포즈 변환 찾기
- 내부 파라미터 K 는 동일

$$p_1 = \begin{bmatrix} u \\ v \\ 1 \end{bmatrix}_1 = \frac{1}{Z_1} K P,$$

$$p_2 = \begin{bmatrix} u \\ v \\ 1 \end{bmatrix}_2 = \frac{1}{Z_2} K (R P + t) = \frac{1}{Z_2} K (\exp(\xi^\wedge) P)_{1:3}.$$



- 어떤 p_2 가 p_1 과 같은 지점에 해당하는지 알 수 있는 방법이 없음 (특징점 매칭 X)
- 현재 포즈 추정치를 기반으로 p_2 의 위치를 찾음
- 카메라의 포즈를 최적화하여 p_2 와 p_1 을 유사하게 만듦

Direct Method 유도

- 최적화 문제 \rightarrow 측광 오차 (Photometric error) 를 최소화

$$e = I_1(p_1) - I_2(p_2). \quad (8.10)$$

- 최적화 목표는 오류의 L2 norm

$$\min_{\xi} J(\xi) = \|e\|^2. \quad (8.11)$$

- 가정: 그레이 스케일은 불변
- 다수의 포인트에 대한 전체 카메라 포즈 추정 문제는 다음과 같음 (카메라 포즈 ξ 최적화)

$$\min_{\xi} J(\xi) = \sum_{i=1}^N e_i^T e_i, \quad e_i = I_1(p_{1,i}) - I_2(p_{2,i}). \quad (8.12)$$

- 카메라 포즈에 따라 오차 e 가 어떻게 변할까? \rightarrow 미분

Direct Method 유도

- Lie 대수 에 대한 섭동 모델 사용
 - $\exp(\xi)$ 에 작은 섭동 $\exp(\delta\xi)$ 를 곱하기

$$e = I_1(p_1) - I_2(p_2).$$



$$\begin{aligned} e(\xi \oplus \delta\xi) &= I_1\left(\frac{1}{Z_1}KP\right) - I_2\left(\frac{1}{Z_2}K \exp(\delta\xi^\wedge) \exp(\xi^\wedge)P\right) \\ &\approx I_1\left(\frac{1}{Z_1}KP\right) - I_2\left(\frac{1}{Z_2}K(1 + \delta\xi^\wedge) \exp(\xi^\wedge)P\right) \\ &= I_1\left(\frac{1}{Z_1}KP\right) - I_2\left(\frac{1}{Z_2}K \exp(\xi^\wedge)P + \frac{1}{Z_2}K\delta\xi^\wedge \exp(\xi^\wedge)P\right). \end{aligned}$$

지수함수의 Taylor 급수

$$q = \delta\xi^\wedge \exp(\xi^\wedge)P,$$

$$u = \frac{1}{Z_2}Kq.$$

- q : 섭동 후의 제 2 카메라 좌표계에서의 p 의 좌표
- u : 픽셀 좌표

Direct Method 유도

$$\begin{aligned}
 e(\xi \oplus \delta\xi) &= I_1 \left(\frac{1}{Z_1} KP \right) - I_2 \left(\frac{1}{Z_2} K \exp(\delta\xi^\wedge) \exp(\xi^\wedge) P \right) \\
 &\approx I_1 \left(\frac{1}{Z_1} KP \right) - I_2 \left(\frac{1}{Z_2} K (1 + \delta\xi^\wedge) \exp(\xi^\wedge) P \right) \\
 &= I_1 \left(\frac{1}{Z_1} KP \right) - I_2 \left(\frac{1}{Z_2} K \exp(\xi^\wedge) P + \frac{1}{Z_2} K \delta\xi^\wedge \exp(\xi^\wedge) P \right).
 \end{aligned}$$



$$\begin{aligned}
 e(\xi \oplus \delta\xi) &= I_1 \left(\frac{1}{Z_1} KP \right) - I_2 \left(\frac{1}{Z_2} K \exp(\xi^\wedge) P + u \right) \\
 &\approx I_1 \left(\frac{1}{Z_1} KP \right) - I_2 \left(\frac{1}{Z_2} K \exp(\xi^\wedge) P \right) - \frac{\partial I_2}{\partial u} \frac{\partial u}{\partial q} \frac{\partial q}{\partial \delta\xi} \delta\xi \\
 &= e(\xi) - \frac{\partial I_2}{\partial u} \frac{\partial u}{\partial q} \frac{\partial q}{\partial \delta\xi} \delta\xi.
 \end{aligned}$$

1차 Taylor expansion

$\partial I_2 / \partial u$: u에서의 픽셀 기울기

$\partial u / \partial q$: 카메라 좌표계의 3D 점 투영 방정식의 미분
 $q = [X, Y, Z]^T$

$\partial q / \partial \delta\xi$: Lie algebra장에서 소개된 점 변환의 미분
 $\frac{\partial q}{\partial \delta\xi} = [I, -q^\wedge]$

Direct Method 유도

$$\begin{aligned}
 e(\xi \oplus \delta \xi) &= I_1 \left(\frac{1}{Z_1} K P \right) - I_2 \left(\frac{1}{Z_2} K \exp(\delta \xi^\wedge) \exp(\xi^\wedge) P \right) \\
 &\approx I_1 \left(\frac{1}{Z_1} K P \right) - I_2 \left(\frac{1}{Z_2} K (1 + \delta \xi^\wedge) \exp(\xi^\wedge) P \right) \\
 &= I_1 \left(\frac{1}{Z_1} K P \right) - I_2 \left(\frac{1}{Z_2} K \exp(\xi^\wedge) P + \frac{1}{Z_2} K \delta \xi^\wedge \exp(\xi^\wedge) P \right).
 \end{aligned}$$

$$\begin{aligned}
 \frac{\partial (Tp)}{\partial \delta \xi} &= \lim_{\delta \xi \rightarrow 0} \frac{\exp(\delta \xi^\wedge) \exp(\xi^\wedge) p - \exp(\xi^\wedge) p}{\delta \xi} \\
 &= \lim_{\delta \xi \rightarrow 0} \frac{(I + \delta \xi^\wedge) \exp(\xi^\wedge) p - \exp(\xi^\wedge) p}{\delta \xi} \\
 &= \lim_{\delta \xi \rightarrow 0} \frac{\delta \xi^\wedge \exp(\xi^\wedge) p}{\delta \xi} \\
 &= \lim_{\delta \xi \rightarrow 0} \frac{\begin{bmatrix} \delta \phi^\wedge & \delta \rho \\ 0^T & 0 \end{bmatrix} \begin{bmatrix} Rp + t \\ 1 \end{bmatrix}}{\delta \xi} \\
 &= \lim_{\delta \xi \rightarrow 0} \frac{\begin{bmatrix} \delta \phi^\wedge (Rp + t) + \delta \rho \\ 0^T \end{bmatrix}}{[\delta \rho, \delta \phi]^T} = \begin{bmatrix} I & -(Rp + t)^\wedge \\ 0^T & 0^T \end{bmatrix} \triangleq (Tp)^\odot.
 \end{aligned}$$

taylor expansion

$\partial I_2 / \partial u$: u에서의 픽셀 기울기

$\partial u / \partial q$: 카메라 좌표계의 3D 점 투영 방정식의 미분
 $q = [X, Y, Z]^T$

$\partial q / \partial \delta \xi$: Lie algebra장에서 소개된 점 변환의 미분
 $\frac{\partial q}{\partial \delta \xi} = [I, -q^\wedge]$

Direct Method 유도

$$\begin{aligned}
 e(\xi \oplus \delta\xi) &= I_1 \left(\frac{1}{Z_1} K P \right) - I_2 \left(\frac{1}{Z_2} K \exp(\xi^\wedge) P + u \right) \\
 &\approx I_1 \left(\frac{1}{Z_1} K P \right) - I_2 \left(\frac{1}{Z_2} K \exp(\xi^\wedge) P \right) - \frac{\partial I_2}{\partial u} \frac{\partial u}{\partial q} \frac{\partial q}{\partial \delta\xi} \delta\xi \\
 &= e(\xi) - \frac{\partial I_2}{\partial u} \frac{\partial u}{\partial q} \frac{\partial q}{\partial \delta\xi} \delta\xi.
 \end{aligned}$$

$$\frac{\partial u}{\partial \delta\xi} = \begin{bmatrix} \frac{f_x}{Z} & 0 & -\frac{f_x X}{Z^2} & -\frac{f_x XY}{Z^2} & f_x + \frac{f_x X^2}{Z^2} & -\frac{f_x Y}{Z} \\ 0 & \frac{f_y}{Z} & -\frac{f_y Y}{Z^2} & -f_y - \frac{f_y Y^2}{Z^2} & \frac{f_y XY}{Z^2} & \frac{f_y X}{Z} \end{bmatrix}. \quad (8.15)$$

$$J = -\frac{\partial I_2}{\partial u} \frac{\partial u}{\partial \delta\xi}. \quad (8.16)$$

- Lie 대수에 대한 오차의 Jacobian 행렬 유도
- N 점의 문제에 대해 위의 방법을 사용하여 최적화 문제의 Jacobian을 계산
- G-N (Gauss-Newton) 또는 L-M (Levenberg-Marquardt)을 사용

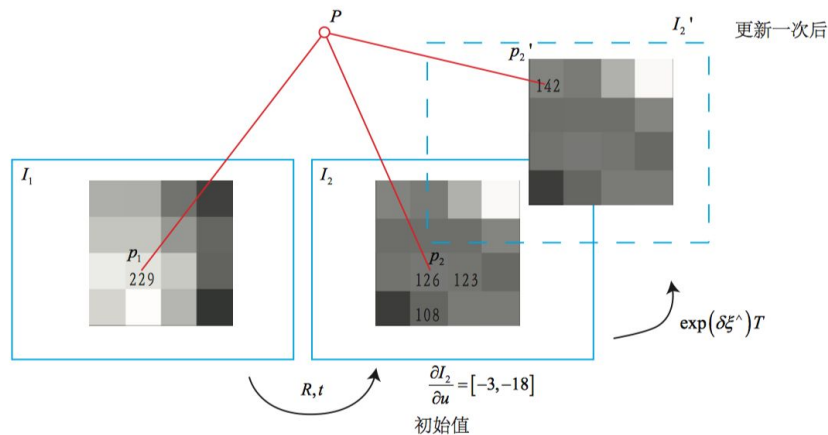
Direct Method 토론

- p는 알려진 위치의 공간 점, 단안 카메라는 더 어려움 (p의 깊이에 의해 야기되는 불확실성)
- p의 소스를 기반으로 분류
- Sparse 특징점
 - 수백~수천개 특징점. 디스크립터를 계산할 필요가 없으며 수백 픽셀 만 사용하므로 가장 빠르지만 sparse한 재구성 만 계산
- 부분 픽셀
 - 식 (8.16)에서 픽셀 그래디언트가 0이면 전체 자코비언이 0이며 모션 증가분 계산에 기여하지 않음. 따라서 그래디언트가 있는 픽셀만 사용하고 그래디언트가 명확하지 않은 부분은 무시. Semi-dense direct method
- 모든 픽셀
 - Dense direct method. 대부분 기존 CPU에서 실시간으로 계산할 수 없으며 GPU 필요. 그래디언트가 불분명한 점은 모션 추정에 크게 기여하지 않으며 재구성 중에 위치를 예측하기가 어려움

Direct Method 예제

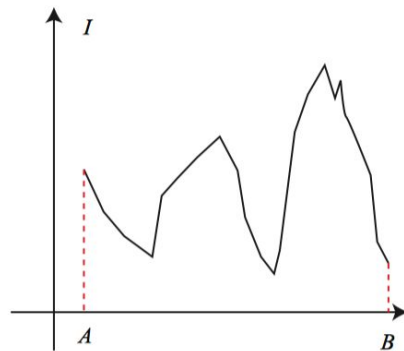
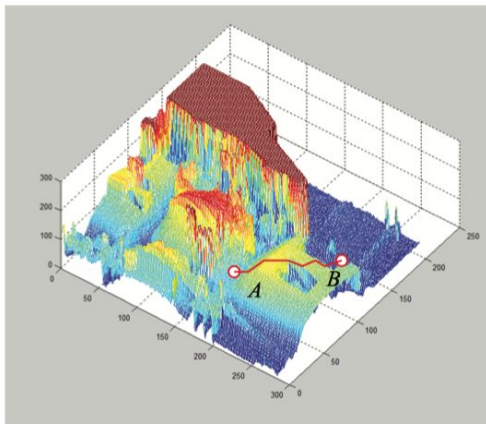
- Direct method는 카메라 포즈를 해결하기 위해 최적화에 전적으로 의존

- 회색 값이 229 인 픽셀을 측정, 공간점 p 의 위치 추론
- 다음 타임스탬프의 새로운 이미지를 얻고 이 위치에서의 카메라 포즈를 추정해야 함 → 초기 값의 반복 최적화
- 이 초기 값에서 공간점 p 투영 후의 픽셀의 그레이 스케일 값은 126, 오차는 $229 - 126 = 103$
- 오류를 줄이기 위해 카메라의 포즈를 미세 조정하여 픽셀을 더 밝게 만들어야 함
- 카메라 포즈의 미세 조정 값을 알기 위해서는 주위 픽셀 그래디언트가 필요
- 픽셀 주변에서 그래디언트는 $[-3, -18]$
- 밝기를 향상 시키려면 p 의 이미지가 왼쪽 상단으로 이동하도록 카메라를 미세 조정하는 최적화 알고리즘 사용
- 많은 픽셀의 값을 참조한 후, 최적화 알고리즘은 우리가 제안한 방향에서 멀지 않은 장소를 선택하고 업데이트 수량 $\exp(\xi^{\wedge})$ 산



Direct Method 예제

- Direct method의 그래디언트는 이미지 그래디언트에 의해 직접 결정
- 이미지 그래디언트를 따라 이동할 때 그레이 스케일 오류가 계속 감소해야 함
- But 이미지는 일반적으로 아래 그림과 같이 매우 강한 Non-convex 함수
- Direct method은 카메라가 거의 움직이지 않고 이미지의 그래디언트가 강한 Non-Convexity를 갖지 않을 때



Direct Method 요약

- 장점

- Feature point, descriptor 계산 시간 생략
- 특징점 매칭이 힘들 경우 사용 가능 (픽셀 그래디언트만 필요)
- semi-dense 또는 dense 매핑 가능

- 단점

- 그래디언트에 전적으로 의존하는 목적 함수
 - But, 이미지는 강한 non-convex 함수
 - 최적화 알고리즘이 쉽게 local minima 에 빠짐, 모션이 작을때만 성공
- 그레이 스케일 값이 불변한다는 강력한 가정
 - 카메라의 자동 노출 보정
 - 조명 변경
 - 측광 모델을 사용한 카메라 보정 (노출시간 변경시)